

بناء أنموذج انحدار شبه معلمي باستخدام بيانات دائيرية

Building a semiparametric regression model using circular data

أ.م. د.أيناس عبد الحافظ محمد²

Enas Abdul Hafedh Mohammed

جامعة كربلاء كلية الأدارة والأقتصاد قسم الأحصاء

enas.albasri@uokerbala.edu.iq

م. م. صبيحة نعمة ضهد¹

Sabiha N. Dhahad

جامعة كربلاء كلية الأدارة والأقتصاد قسم الأحصاء

sabihand@stu.edu.iq

المستخلص :

يتطلب الحفاظ على الوظيفة البصرية تحسينها بفهم الخطأ الانكساري (Refractive Error) والتغيرات المرتبطة بالعمر ، تعمل العين البشرية كنظام بصري يركز الصور المرئية على الشبكية ، أذ ان الخطأ الانكساري هو أحد الأسباب الرئيسية لتدور صورة الشبكية في العيون غير المصححة ، نتيجة لوجود العديد من الظواهر في الواقع التي لها خاصية دورية وتكون بياناتها ضمن المدى ($0, 2\pi$) وهي من البيانات التي لها أهمية في مجالات عديدة ويواجه تحليلاً هذه البيانات العديد من التحديات المرتبطة بتحليل البيانات الدائرية ، لذا هدف البحث الى بناء أنموذج انحدار شبه معلمي يتناسب مع طبيعة البيانات الدائرية ، تم اختيار الأنموذج شبه المعلمي الدائري-الخطي-الدائري المدمج لهذا الغرض من خلال دمج الجزء المعلمي المقدر بطريقة الأمكان الأعظم وبفرض الخطأ العشوائي بتوزيع مشترك (خطي- دائري) والجزء اللامعلمي المقدر باستخدام دوال نواة دائرية (Circular Kernel) مختلفة بواسطة معلمة الدمج (α) . تم استعمال بيانات خاصة بالبصر وتم الحصول عليها من (مركز النور التخصصي لطب وجراحة العيون في محافظة ذي قار وباستعمال جهاز Auto Kerato – Refracto Tonometer TOPCON TRK. 2P) . (تضمنت عينة الدراسة 400 حالة) تمثل لبيانات قياس العين اليمنى (OD cyl axis) والعين اليسرى (OD cyl axis) (OD cyl axis) وعمر الحالة (Patient) (Age) لأشخاص يعانون من الخطأ الانكساري (Refractive Error) . تم التوصل من نتائج البحث الى ان استخدام دالة النواة كوشي المغلف (Wrapped Cauchy) في تقدير الجزء اللامعلمي لأنموذج الانحدار شبه المعلمي الدائري-الخطي-الدائري المدمج أفضل من استخدام فون ميزس (Von Mesis) . أوصى الباحث بتعزيز الأنموذج على بيانات لظواهر أخرى .

الكلمات المفتاحية : انموذج الانحدار شبه المعلمي ، دالة النواة

Abstract:

Requires the use of optics that allow understanding refractive error (refractive error) and other changes with age, the human eye as an optical system for supervising visual acuity, after the refractive error is one of the main contributors to the image aid in uncorrected eyes, as a result of the presence of many phenomena in reality that provide a periodic feature only data within ($0, 2\pi$) and it is from the data that later and the analysis of these data faces. The research to build a semi-parametric regression model to enter with the nature of the circular data, the semi-parametric model-linear-cyclic was chosen for this harvest by integrating the parametric part estimated by the maximum likelihood method and assuming the random error with a joint distribution (linear-cyclic) and the estimated part using a binary circular kernel (circular kernel) different by the integrated parameter (α). Eye data were obtained from Al-Noor Specialized Eye Center in Dhi Qar Governorate using an Auto Kerato-Refractometer TOPCON TRK. 2P. The color study included 400 cases representing the right eye (OD cyl axis), the dependent eye (OD cyl axis), and the patient's age for individuals with refractive error. The results indicated that the use of the wrapped Cauchy function in the estimated part of the integrated semiparametric circular-linear-circular regression model was better than the use of the von Mises function. The researcher recommended generalizing the model to data on other phenomena.

Keywords: Semi-parametric regression model, kernel function

1- المقدمة : The Introduction :

يتطلب الحفاظ على الوظيفة البصرية تحسينها بفهم الخطأ الانكساري (Refractive Error) والتغيرات المرتبطة بالعمر ، تعمل العين البشرية كنظام بصري يركز الصور المرئية على الشبكية ، أذ ان الخطأ الانكساري هو أحد الأسباب الرئيسية لتدور صورة الشبكية في العيون غير المصححة (Namba, H., Sugano & others, 2020) .

من هنا جاء البحث لبناء انموذج احصائي يستخدم تحليل الانحدار كأداة احصائية لهذا الغرض من خلال تقدير العلاقة بين متغيرات الأنموذج . تضمن البحث أربع مباحث ، المبحث الأول يحوي المقدمة ومنهجية البحث . ركز المبحث الثاني على الدراسة النظرية لأنموذج الانحدار شبه المعلمي باستخدام بيانات دائيرية ، تطرق لبناء أنموذج الانحدار شبه المعلمي المدمج

وطرق تقدير الجزء المعلمي والجزء اللامعملي بواسطة معلمة الدمج . المبحث الثالث تناول الجانب التجريبي والتطبيقي من خلال أجراء خطوات المحاكاة (Simulation) بأسعمال برنامج (Matlab) لبناء أنموذج البحث ، في الجانب التطبيقي تم أستعمال بيانات مرضى الخطأ لأنكساري (Refractive Error) في تطبيق الأنموذج شبه المعلمي الدائري-الخطي- الدائري.

2- منهجية البحث

1-2 الأهمية : Importance of thesis

تكمن أهمية البحث لبناء أنموذج أنحدار شبه معلمي يجمع بين المرونة والدقة وتحقيق موثوقية عالية في نتائج التقدير والتنبؤ بما يتوافق مع طبيعة البيانات الدائرية ، وتنظر أهمية هذا الأنموذج من خلال التطبيق على بيانات دائرة حول ظاهرة الخطأ الأنكساري للعين .

2-2 مشكلة بحث : Problem of thesis

تكمن مشكلة البحث بوجود العديد من الظواهر في الواقع التي لها خاصية دورية وتكون بياناتها ضمن المدى $(0, 2\pi)$ وهي من البيانات التي لها أهمية في مجالات عديدة ويواجهه تحليل هذه البيانات العديد من التحديات المرتبطة بتحليل البيانات الدائرية كاختلاف التوزيع للبيانات الدائرية والخطية التي أعتمد عليها الأنموذج أيضاً طبيعة البيانات الدائرية التي تكرر كل 360° مما يجعل صعوبة في التفسير، كما يوجد اختلاف في طرق تقدير المتوسط الدائري والانحراف المعياري الدائري.

2-3 هدف البحث : Aim of thesis

يهدف البحث الى بناء أنموذج أنحدار شبه معلمي باستخدام أنموذج أنحدار شبه معلمي دائري-خطي-دائري الذي يتناسب مع طبيعة البيانات الدائرية .

3- الجانب النظري

1-3 مفهوم البيانات الدائرية : The concept of circular data

البيانات الدائرية هي نوع من البيانات التي تمثل نقاطاً على محيط دائرة المقاسة بالدرجات أو بالراديان. على مدى القرن الماضي ، تم التركيز بشكل كبير على البيانات الدائرية في أنواع مختلفة من المجالات مثل الفيزياء وعلم النفس والأرصاد الجوية والجيولوجيا وعلم الحفريات وعلم الأحياء وعلم الفلك وغيرها الكثيرة. يمكن تعريف البيانات الدائرية في أنواع مختلفة من التوزيعات مثل التوزيعات النقطية والقلبية والمثلثية وتوزيعات فون ميزس (VM) والملفوقة العادي (WN) وتوزيعات بواسون (WP). توزيع VM هو التوزيع الأكثر شيوعاً للبيانات الدائرية لأنه يأخذ الدور الذي يؤديه التوزيع الطبيعي في الإحصائيات الخطية القياسية. في الواقع ، يتشكل مثل التوزيع الطبيعي ، فيما عدا أن ذيوله مقطوعة. على عكس البيانات الخطية ، أصل البيانات الدائرية غير محدد لأنها موجودة على الأسطح المحطيية والكروية. يمكن أن يؤثر الاختلاف في خصائص البيانات على الوصف والاستدلال في التحليل الإحصائي. لذلك ، لم تعد طريقة الإحصاء الكلاسيكية مناسبة عند معالجة البيانات الدائرية. (Mohammad, 2021) ، يتم جمع البيانات الدائرية عندما يكون موضوع الاهتمام هو اتجاه أو وقت من اليوم. تظهر هذه البيانات الخاصة في العديد من التطبيقات: علوم الأرض (مثل اتجاهات الرياح) ، والطب (مثل إيقاع الساعة البيولوجية) ، والبيئة (مثل حركات الحيوانات) ، والطب الشرعي (وقوع الجريمة) (Claire and Thanh, 2022).

2-3 الأنحدار شبه المعلمي : the semiparametric regression

اقتراح الباحث (Robinson, 1988) والباحث (Speckman Paul, 1988) الأنحدار الخطى الجزئي وهي أحد دوال الأنحدار شبه المعلمى ، وعرف (Issa, Aseel Muslim. 2011) الأنحدار شبه المعلمى (semiparametric) بأنه اسلوب احصائى يحقق خصائص عامة للأنحدار المعلمى (Parametric) واللامعلمى (Nonparametric) ويحقق نفس الهدف وهو الحصول على منحنى للبيانات يطابق او يقترب من التطابق لمنحنى المتغير المعتمد وذلك بدمج اساليب التقدير المعلمية واللامعلمية . (Tarrad, Alaa Jaber & Hassan, Raad Fadel. 2013) ويعبر عن النموذج شبه المعلمى بالأعلى :

$$y_i = f(x_i, B) + g(\theta_i) + \varepsilon_i \quad \dots \quad (1)$$

اذ :

y_i المتغير التابع ، $f(x_i, B)$ الجزء المعلمى ، $g(\theta_i)$ الجزء اللامعلمى ، ε_i الخطأ العشوائي يجمع الأنحدار شبه المعلمى بين مكونات الأنحدار المعلمى واللامعلمى . بذلك يضمن سهولة التفسير من الجزء المعلمى و يحظر بالمرونة من الجزء اللامعلمى . (DERICK L. RIVERS, 2009)

3-3 الأنحدار الدائري (Circular regression)

عند استخدام البيانات الدائرية لأعداد الأنحدار الخطى البسيط او المتعدد يجب التمييز بين الدور الذي يلعبه المتغير الدائري وبين وقت استخدام تقنيات الأنحدار الخطى وغير الخطى ، توجد ثلاثة أنواع لنماذج الأنحدار الدائري موضحة في الجدول أدناه ، في كل نوع ، يمكن استخدام كل من أشكال الأنحدار الخطى وغير الخطى. (Scott, 2002) جدول (1) يبيّن أنماذجات الأنحدار الدائري

Regression category	Response Variable	Explanatory Variable
linear –circular	Linear	Circular
circular –linear	Circular	Linear
circular –circular	Circular	Circular

لبناء أنموذج الأنحدار شبه المعلمي المدمج باستخدام بيانات دائيرية تم توظيف نوعين من الأنحدار الدائري في الجدول السابق في صياغة أنموذج الدراسة الحالية ، إذ تضمن الجزء المعلمي أنموذج أنحدار من النوع (Circular - Linear Regression) (اما الجزء اللامعلمي تضمن أنموذج أنحدار من النوع (Circular- Circular Regression) ، تم جمع الأنماذجين المعلمي واللامعلمي للحصول على الأنماذج شبه المعلمي الدائري-الخطي- الدائري بالجدول أدناه:

جدول رقم (2) (بيان أنموذج الأنحدار شبه المعلمي الدائري - الخطى- الدائري)

Regression category	Dependent Variable	Explanatory Variable
Circular = Linear + Circular	Circular	Linear

الأنحدار شبه المعلمي الدائري - الخطى- الدائري (Regression)، الأنحدار شبه المعلمي أحد أشكال الأنحدار التي من الممكن توظيف البيانات الدائيرية لهذا النوع من النماذج ، يتكون من دالتين احدهما دالة (Circular - Linear Regression) هي ($y_i = \beta_0 + \beta_1 x_i$) دائرية ($y_i = g(\theta)$) ومتغير توضيحي خطى (x_i) اما الدالة الثانية (Circular- Circular Regression) هي ($y_i = g(\theta)$) بمتغير معتمد دائرى ومتغير توضيحي دائرى . أنموذج الأنحدار شبه المعلمى من النوع (Circular= Linear + Circular) وهو من الأنماذج التجميعية .

4-3 تقيير أنموذج الأنحدار شبه المعلمى الدائري - الخطى- الدائري المدمج

Estimating the parameters of the Combined semiparametric Circular -Linear-circlear regression model

استخدمت هذه الطريقة بالتقدير من قبل الباحثان (Olkin&Spiegelman,1987) حيث تم دمج الصيغة المعلمية واللامعلمية لدالة الكثافة الاحتمالية.

قدم الباحثان (Burman&Chaudhuri,1992) تقدير دالة الأنحدار باستخدام خليط من مقدرات معلمية ولاعلمية . ثم قدم الباحث (Wooldridge , 1992) اقتراح خاص بهذا النوع من المقدرات ، ايضاً قدم الباحثون (Rahman,Gokhale&Ullah, 1993) مقترن للتقدير المدمج ، قدمت الباحثة اسيل عام 2011 والباحث مناف يوسف عام 2012 مقترن للتقدير شبه المعلمى المدمج . تمثل هذه الطريقة الأنحدار الهجين بين الأنماذج ذو الصيغة المعلمية والمعلمات المجهولة ، والأنماذج ذو دالة الأنحدار غير معلومة الصيغة ، تم في هذه الدراسة تقدير دالة الأنحدار المدمج وفق طريقة (Burman&Chaudhuri,1992) وحسب الصيغة :

$$y_i = (1 - \alpha)f(x_i, \beta) + \alpha g(\theta_i) + \varepsilon_i \quad \dots \quad (2)$$

حيث $1 < \alpha < 0$ تمثل معلمة الدمج (Combin Parameter) تم التقدير وفقاً للخطوات التالية :

1- تقدير الجزء المعلمى بطريقة الأمكان الأعظم (Maximum Likelihood Estimator)

2- تقدير الجزء اللامعلمى بواسطة المقدر الليبى (Kernel Estimator)

3- تقدير معلمة الدمج (Combin Parameter) بطريقة المربعات الصغرى من خلال تعويض كل من المقدرين المعلمى واللامعلمى بالشكل التالي :

$$y_i = (1 - \alpha)f(x_i, \hat{\beta}) + \alpha \hat{g}(\theta_i) + \varepsilon_i \quad \dots \quad (3)$$

تعد معلمة الدمج (Combin Parameter) من المعلومات المهمة في تكوين الأنحدار شبه المعلمى إذ أنها تعطي وزناً لكل من الجزء المعلمى والجزء اللامعلمى في الأنماذج شبه المعلمى ، وتم استخدامها في الدراسة الحالية لتكوين أنموذج الأنحدار شبه معلمى لبيانات دائيرية ويستوجب تقديرها ومن المتعارف عليه يمكن تقدير معلمة الدمج بطريقة المربعات الصغرى:

$$\sum_{i=1}^n \varepsilon_i^2 = \sum_{i=1}^n \left[y_i - \left(f(x_i, \hat{\beta}) + \alpha f(x_i, \hat{\beta}) - \alpha \hat{g}(\theta_i) \right) \right]^2$$

$$\sum_{i=1}^n \varepsilon_i^2 = \sum_{i=1}^n \left[y_i - \left(f(x_i, \hat{\beta}) + \alpha f(x_i, \hat{\beta}) - \alpha \hat{g}(\theta_i) \right) \right]^2$$

$$= \sum_{i=1}^n \left[y_i - f(x_i, \hat{\beta}) + \alpha (\hat{g}(\theta_i) - f(x_i, \hat{\beta})) \right]^2$$

$$(y_i - f(x_i, \hat{\beta})) = \alpha (\hat{g}(\theta_i) - f(x_i, \hat{\beta})) + \varepsilon_i$$

نضرب الطرفين بالمقدار ($\hat{g}(\theta_i) - f(x_i, \hat{\beta})$) ونحصل على الصيغة الآتية لمعلمة الدمج المقدرة :

$$\hat{\alpha}_{BC} = \frac{\sum_{i=1}^n (y_i - f(\hat{B} \cdot x_i))(\hat{g}(\theta_i) - f(\hat{B} \cdot x_i))}{\sum_{i=1}^n (\hat{g}(\theta_i) - f(\hat{B} \cdot x_i))^2} \quad \dots \quad (4)$$

حيث $\hat{g}(\theta_i) \neq f(\hat{B} \cdot x_i)$

(Rahman, M., Gokhale, D. V., & Ullah, A. (1997))

$\hat{\alpha}$ تمثل مقدار المربيعات الصغرى للمعلمة α ، في حالة $0 = \hat{\alpha}$ فإن الصيغة (3) تمثل مقدار دالة انحدار معلمى ، أما اذا كانت $1 = \hat{\alpha}$ فإن الصيغة (3) تمثل مقدار دالة انحدار لامعلمى . (Fan, (Ullah, A., & Vinod, H. D., 1993) (Y., & Ullah, A. 1999)

1-4-3 تقدير الجزء المعلمى بطريقة الأمكان الأعظم : (Maximum Likelihood)

تتميز طريقة الأمكان الأعظم بانها اكثربالطرق شيوعاً وتتميز بالكفاءة ، الكفاية ، الأنساق وتتميز بخاصية الثبات .

Allahham, N. (2015)

انموذج الجزء المعلمى مشابه لأنموذج الانحدار البسيط حيث يشترط في الأنموذج الخطى البسيط ان يتوزع الخطأ توزيع طبيعى ، وبما ان توزيع فون ميزس (VM) للبيانات الدائرية مشابه للتوزيع الطبيعي للبيانات الكمية ويمكن صياغة الأنموذج بالصيغة التالية (Jawad, Ali Muhammad. 2023)

$$y_i = \beta_0 + \beta x_i + \varepsilon_i \quad (mod \ 2\pi) \quad \dots \quad (5)$$

y_i : المتغير التابع الدائري

x_i : المتغير التوضيحي المستقل

β_0 : الحد الثابت لأنموذج

β : الميل الحدي لأنموذج

ν : الخطأ العشوائي الذي يتبع توزيع فون ميزس الشرطي (VM) بمتوسط اتجاه صفر ومعدل التركيز $(\frac{\nu x}{\sigma^2})$

بما ان المتغير y_1, y_2, \dots, y_n يتوزع توزيع فون ميزس الدائري له دالة كثافة احتمالية (pdf) لكل مشاهدة في العينة n ، يمكن تعريف دالة الكثافة الاحتمالية لتوزيع فون ميزس للخطأ العشوائي الدائري لأنموذج الانحدار كالتالى :

Abuzaid, A. H. (2010)

$$f(y/x; \beta_0, \beta_1, \sigma^2, k) = \frac{1}{2\pi I_0(\frac{\nu x}{\sigma^2})} \exp\left\{\frac{\nu x}{\sigma^2} \cos(y_i - \beta_0 - \beta_1 x_i)\right\}$$

$$L(y_i, x_i; \beta_0, \beta_1, \sigma^2, \nu) = \prod_{i=1}^n \frac{1}{2\pi I_0(\frac{\nu x}{\sigma^2})} \exp\left\{\frac{\nu x}{\sigma^2} \cos(y_i - \beta_0 - \beta_1 x_i)\right\}$$

نأخذ اللوغاريتم لدالة الأمكان الأعظم :

$$\ln L(y_i, x_i; \beta_0, \beta_1, \sigma^2, \nu) = \sum_{i=1}^n \ln f(y/x; \beta_0, \beta_1, \sigma^2, \nu)$$

$$= \sum_{i=1}^n \ln \left\{ \frac{1}{2\pi I_0(\frac{\nu x}{\sigma^2})} \exp\left(\frac{\nu x}{\sigma^2} \cos(y_i - \beta_0 - \beta_1 x_i)\right) \right\}$$

$$= \sum_{i=1}^n \left\{ \ln \frac{1}{2\pi I_0(\frac{\nu x}{\sigma^2})} \exp\left(\frac{\nu x}{\sigma^2} \cos(y_i - \beta_0 - \beta_1 x_i)\right) \right\}$$

$$= \sum_{i=1}^n \left\{ -\ln(2\pi) - \ln\left(I_0\left(\frac{\nu x}{\sigma^2}\right)\right) + \frac{\nu x}{\sigma^2} \cos(y_i - \beta_0 - \beta_1 x_i) \right\}$$

نقوم بأجراء الأشتقاق الجزئي لكل من المعلمات $(\beta_0, \beta_1, \sigma^2, \nu)$ المطلوب تقدرها :

$$\frac{\partial \ln L}{\partial \beta_0} = \sum_{i=1}^n \frac{\nu x_i}{\sigma^2} \sin(y_i - \beta_0 - \beta_1 x_i) \quad \dots \quad (6)$$

$$\frac{\partial \ln L}{\partial \beta_1} = \sum_{i=1}^n \left[\frac{\nu x_i}{\sigma^2} \sin(y_i - \beta_0 - \beta_1 x_i) x_i \right] \quad \dots \quad (7)$$

$$\frac{\partial \ln L}{\partial \nu} = \sum_{i=1}^n \left[\frac{-x_i I_1(\frac{\nu x_i}{\sigma^2})}{\sigma^2 I_0(\frac{\nu x_i}{\sigma^2})} + \frac{x_i}{\sigma^2} \cos(y_i - \beta_0 - \beta_1 x_i) \right] \dots (8)$$

$I_0(\frac{\nu x_i}{\sigma^2})$ هي المشقة الأولى ل $I_1(\frac{\nu x_i}{\sigma^2})$

$$\frac{\partial \ln L}{\partial \sigma^2} = \sum_{i=1}^n \left[\frac{\nu x_i^2 I_1(\frac{\nu x_i}{\sigma^2})}{(\sigma^2)^2 I_0(\frac{\nu x_i}{\sigma^2})} - \frac{\nu x_i^2}{2(\sigma^2)^2} \cos(y_i - \beta_0 - \beta_1 x_i) \right] \dots (9)$$

نجعل المعادلات (6) و (7) و (8) و (9) مساوية للصفر نحصل :

$$\sum_{i=1}^n \frac{\nu x_i}{\sigma^2} \sin(y_i - \beta_0 - \beta_1 x_i) = 0 \dots (10)$$

$$\sum_{i=1}^n \left[\frac{\nu x_i}{\sigma^2} \sin(y_i - \beta_0 - \beta_1 x_i) x_i \right] = 0 \dots (11)$$

$$\sum_{i=1}^n \left[\frac{-x_i I_1(\frac{\nu x_i}{\sigma^2})}{\sigma^2 I_0(\frac{\nu x_i}{\sigma^2})} + \frac{x_i}{\sigma^2} \cos(y_i - \beta_0 - \beta_1 x_i) \right] = 0 \dots (12)$$

$$\sum_{i=1}^n \left[\frac{\nu x_i^2 I_1(\frac{\nu x_i}{\sigma^2})}{(\sigma^2)^2 I_0(\frac{\nu x_i}{\sigma^2})} - \frac{\nu x_i^2}{2(\sigma^2)^2} \cos(y_i - \beta_0 - \beta_1 x_i) \right] = 0 \dots (13)$$

وبتطبيق خاصية الوسط الحسابي المذكورة في المعادلة رقم (14-2) على المعادلة رقم (14) نحصل على :

$$\sum_{i=1}^n [\sin(y_i - \beta_1 x_i) \cos \beta_0 - \cos(y_i - \beta_1 x_i) \sin \beta_0] = 0$$

$$\cos \beta_0 \sum_{i=1}^n \sin(y_i - \beta_1 x_i) - \sin \beta_0 \sum_{i=1}^n \cos(y_i - \beta_1 x_i) = 0$$

بالقسمة على $\cos \beta_0$

$$\sum_{i=1}^n \sin(y_i - \beta_1 x_i) - \frac{\sin \beta_0}{\cos \beta_0} \sum_{i=1}^n \cos(y_i - \beta_1 x_i) = 0$$

$$\tan \beta_0 = \frac{\sin \beta_0}{\cos \beta_0}$$

اذن

$$\sum_{i=1}^n \sin(y_i - \beta_1 x_i) - \tan \beta_0 \sum_{i=1}^n \cos(y_i - \beta_1 x_i) = 0$$

$$\tan \beta_0 = \frac{\sum_{i=1}^n \sin(y_i - \beta_1 x_i)}{\sum_{i=1}^n \cos(y_i - \beta_1 x_i)}$$

$$\beta_0 = \tan^{-1} \frac{\sum_{i=1}^n \sin(y_i - \beta_1 x_i)}{\sum_{i=1}^n \cos(y_i - \beta_1 x_i)}$$

$$\hat{\beta}_0 = \begin{cases} \tan^{-1} \left(\frac{s}{c} \right) & \text{if } S \geq 0 \text{ , } C > 0 \\ \frac{\pi}{2} & \text{if } S \geq 0 \text{ , } C = 0 \\ \tan^{-1} \left(\frac{s}{c} \right) + \pi & \text{if } \text{ , } C < 0 \\ \tan^{-1} \left(\frac{s}{c} \right) + 2\pi & \text{if } S < 0 \text{ , } C \geq 0 \\ \text{undefined} & \text{if } S = 0 \text{ , } C = 0 \end{cases} \dots (14)$$

حيث :

$$S = \sum_{i=1}^n \sin(y_i - \beta^0 x_i)$$

$$C = \sum_{i=1}^n \cos(y_i - \beta^0 x_i)$$

حيث β^0 تمثل القيم الأولية للمعلمات المقدرة
اما $\hat{\beta}$ يمكن الحصول عليها من الصيغة التالية :

$$\hat{\beta} \approx \beta^0 + \frac{\sum_{i=1}^n \sin(y_i - \hat{\beta}_0 - \beta^0 x_i)}{\sum_{i=1}^n \cos(y_i - \hat{\beta}_0 - \beta^0 x_i)} \dots (15)$$

اما $\hat{\nu}$ يمكن الحصول عليها حسب القانون التالي :

$$\hat{\nu} = A^{-1} \left(\frac{1}{n} \sum_{n=1}^n \cos(y_i - \hat{\beta}_0 - \beta^0 x_i) \right) \dots (16)$$

حيث : A^{-1} هي نسبة دالة بيسيل (modified Bessel) من النوع الأول من الترتيب الأول ومن الترتيب الصفرى لمعلمة التركيز ν في توزيع فون ميزس وقد اعطى (Dodson 1978) تقديرات تقريبية بسيطة للحصول على A^{-1} وهي Hassan, S. F. (2015).

$$A^{-1}(R) = \begin{cases} 2R + R^2 + 0.833R^5 & R > 0.053 \\ -0.4 + 1.39R + 0.43(1-R)^{-1} & 0.53 \leq R < 0.85 \\ (R^3 - 4R^2 + 3R)^{-1} & R \geq 0.85 \end{cases} \dots (17)$$

3-4-2 تقدير الجزء الامعملي بطريقة المقدر الليبي (Kernel Estimator)

بعد المقدر الليبي (Kernel Estimator) اسلوب لامعملي يستخدم لتقدير الدوال الاحصائية بالأعتماد على البيانات ، ينمييز ببساطة وسهولة البرمجة ورسم القيم المقدرة بيانيًا وتقدير دالة الانحدار الامعممية ، تم اقتراح هذا المقدر من قبل الباحثين (Rosenblat,1956) و (Parzen,1962).

بفرض (y_i, θ_i) حيث $i = 1, 2, \dots, n$ حيث $i = 1, 2, \dots, n$ تمثل عينة عشوائية لمتغيرين دائريين (θ, y) يمكن تمثيل العلاقة بين المتغيرين من خلال أنموذج الانحدار التالي :

$$y_i = [g(\theta_i) + \varepsilon_i] \pmod{2\pi} \quad i = 1, 2, \dots, n \dots (18)$$

حيث ε_i تتوزع بشكل زوايا عشوائية بمتوسط اتجاهي صفر وتركيز محدود ومستقل عن θ_i .
تم تقدير الجزء الامعملي بواسطة النواة (Kernel) .

بفرض ان المتغير العشوائي (x_1, x_2, \dots, x_n) له دالة كثافة احتمالية غير معلومة $f_x(x)$ فإن المقدر الليبي لهذه الدالة يوضح بالشكل التالي :

$$\hat{f}_x(x) = \frac{1}{nh} \sum_{i=1}^n K \left(\frac{x-x_i}{h} \right) \dots (19)$$

حيث $h > 0$

اما K هي دالة لبية تسمى دالة النافذة .

وهي دالة رياضية حقيقة محددة تعمل على تنفيذ المقدر من التعرجات ويجب ان تتحقق الشرطين :
Ban Ahmed Matras, & Alaa Mahmoud Mohamed. (2013).

$$1) K(x) \geq 0$$

$$2) \int_{-\infty}^{\infty} K(x) dx = 1$$

اما **Circular Kernel** (النواة الدائرية) يرمز لها (K_v) مع معلمة التركيز $v > 0$ هي دالة حقيقة ، عرف (Marzio et.al.2009) النواة الدائرية هي نواة الجيب (sin) ذات الرتبة v ومعلمة تركيز (تمهيد) $v > 0$ بأنها دالة حقيقة أي $K_v \in (0, 2\pi)$

بيانات المتغير التوضيحي الدائري والمتغير التابع الدائري يمكن تقدير دالة الانحدار الامعممية من خلال تقدير دالة كثافة النواة الدائرية (Kernel circular density estimator) ، يمكن التعبير عن مقدر دالة النواة الدائرية بالشكل التالي : (Marzio, 2013)

$$\hat{f}(\theta; v) = \frac{1}{n} \sum_{i=1}^n K_v(\theta - \theta_i), \quad 0 \leq \theta \leq 2\pi \dots (20)$$

حيث $(\theta - \theta_i)$ تمثل دالة النواة الدائرية (Kernel circular) $v > 0$ تمثل معلمة التركيز (معامل التجانس)

اما بالنسبة لأنواع النواة الدائرية من الممكن توظيف دوال الكثافة الدائرية ، وفي هذه الأطروحة تم استخدام دالتي :

- فون ميس (Von Mesis) : فهو يستخدم على نطاق واسع بسبب احاديته وشكله المتماثل ومعادلته التالية المذكورة سابقا. (Alonso-Pena, M., Ameijeiras-Alonso, J., & Crujeiras, R. M. (2021).).

$$f(\theta ; \mu, v) = \frac{1}{2\pi I_0(v)} \exp\{v \cos(\theta - \mu)\} \quad \dots (21) \quad K_v =$$

حيث $0 \leq \theta \leq 2\pi$

مع هذه النواة المحددة يتم أعطاء مقدار دالة الكثافة في المعادلة (22) ، وهي عبارة عن مجموعة من توزيعات فون ميس (Von Mesis) المتمرزة في θ_i ومع معلمة التركيز v . لعملية التركيز تأثير في تقليل بعض معايير الخطأ بين الدالة الحقيقية الامثلية والدالة التقديرية. (Sikaroudi, A. E. (2017)) ، (Oliveira&Rodriguez , 201).

$$\hat{f}(\theta ; v) = \frac{1}{n2\pi I_0(v)} \sum_{i=1}^n \exp\{v \cos(\theta - \theta_i)\}, \quad 0 \leq \theta \leq 2\pi \quad \dots (22)$$

- كoshi المثلث (Wrapped Cauchy)

$$K_{wc} = f(\theta ; \mu, p) \frac{1}{2\pi} \frac{1 - p^2}{1 + p^2 - 2p \cos(\theta)} \quad 0 < p < 1 \quad \dots (23)$$

حيث p هي معلمة التركيز

يمكن كتابة المقدار الامثلية لدالة الانحدار (δ) عند النقطة الدائرية (δ) بالشكل التالي : المصدر : Di Marzio, M., Fensore, S., & Taylor, C. C. (2023)

$$\hat{f}(\delta) = \text{atan}^2[\hat{g}_1(\delta) \cdot \hat{g}_2(\delta)] \quad \dots (24)$$

حيث تمثل الدالة $\text{atan}^2[\hat{g}_1(\delta) \cdot \hat{g}_2(\delta)]$ بأنحدار الزاوية بين المحور والتجه من الأصل يمكن حسابها بالشكل التالي :

$$\text{atan}^2[\hat{g}_1(\delta) \cdot \hat{g}_2(\delta)] = \begin{cases} \text{atan}\left(\frac{\hat{g}_2(\delta)}{\hat{g}_1(\delta)}\right) & \text{if } \theta > 0 \\ \pi + \text{atan}\left(\frac{\hat{g}_2(\delta)}{\hat{g}_1(\delta)}\right) & \text{if } \hat{g}_2(\delta) \geq 0 \quad \hat{g}_1(\delta) < 0 \\ -\pi + \text{atan}\left(\frac{\hat{g}_2(\delta)}{\hat{g}_1(\delta)}\right) & \text{if } \hat{g}_2(\delta) < 0 \quad \hat{g}_1(\delta) < 0 \\ \frac{\pi}{2} & \text{if } \hat{g}_2(\delta) > 0 \quad \hat{g}_1(\delta) = 0 \\ \frac{-\pi}{2} & \text{if } \hat{g}_2(\delta) < 0 \quad \hat{g}_1(\delta) = 0 \\ \text{undefined} & \text{if } \hat{g}_2(\delta) = 0 \quad \hat{g}_1(\delta) = 0 \end{cases}$$

$$\hat{g}_1(\delta) = \frac{1}{n} \sum_{i=1}^n \sin(y_i) W(\theta_i - \delta) \quad \dots \quad (25)$$

$$\hat{g}_2(\delta) = \frac{1}{n} \sum_{i=1}^n \cos(y_i) W(\theta_i - \delta) \quad \dots \quad (26)$$

يمكن أعطاء أوزان النواة عن طريقأخذ نواة دائرية كدالة للوزن : W تمثل الوزن .

$$W(\theta_i - \delta) = n^{-1} K_v(\theta_i - \delta) \left\{ \sum_{i=1}^n K_v(\theta_i - \delta) \sin^2(\theta_i - \delta) \right. \\ \left. - \sin(\theta_i - \delta) \sum_{i=1}^n K_v(\theta_i - \delta) \sin(\theta_i - \delta) \right\} \quad \dots (27)$$

تشير : K_v الى النواة الدائرية و v معلمة التمهيد Meilán-Vila, A. (2020) . (Oliveira, M., Crujeiras, 2014)

-3- الجانب التجاري و التطبيقي

1-3- الجانب التجاري

تم تقديم أنماذج للأنحدار شبه المعلمي الدائري -الخطي الدائري، يختلف كل أنموذج عن الآخر بأختلاف Circular Kernel (النواة الدائرية) وأختلاف معلمة الدمج .

1-1-3 المحاكاة Simulation

وهي عملية تصميم أنموذج مشابه للنظام الحقيقي في المعطيات والفرضيات لغرض معرفة سلوك النظام الحقيقي والحصول على نتائج تساعد في اتخاذ القرار . يعرف ايضاً بأنها أحد الأساليب التي تستعمل لتوليد بيانات لغرض تحليلها دون الحاجة الى إجراء تجربة حقيقة ومراقبتها وتسجيل البيانات . وهي ايضاً أسلوب يستعمل أنموذج رياضي نظري شبيه او أنموذج بديل لأنموذج الحقيقي دون المحاولة للحصول على الأنموذج الحقيقي .

Jawad, Ali Muhammad. (2023).

3-1-3 توليد البيانات :

1- تم استعمال اربعة أحجام للعينة (400 , 300 , 150 , 50) ولكل تجربة محاكاة تكرارات (1500) .

الجانب التجريبي للجزء المعلمي :

1- اختيار أنموذج الأنحدار البسيط :

$$y_i = \beta_0 + \beta x_i + \varepsilon_i \pmod{2\pi} \quad \dots (28)$$

و اختيار قيم افتراضية للمعلمات كما في الجدول أدناه :

رقم التجربة	B_0	B_1
1	1.5	1
2	0.9	1.9
3	0.05	2.5

ويكون التقدير بطريقة الأمكان الأعظم (MLE)

تم توليد البيانات للمتغير الدائري والمتغير الخطى في الأنماذج المعلمى باستخدام الدوال الشرطية ويفضل ذلك عند الاهتمام بدراسة المتغير الدائري بناءً على قيم المتغير الخطى .

Imoto, T., Shimizu, K., & Abe, T. (2019). A cylindrical distribution with heavy-tailed (linear part. *Japanese Journal of Statistics and Data Science*, 2, 129-154.

1- توليد بيانات المتغير التابع (y_i) حسب التوزيع الخطى – الدائري وتم استعمال التوزيع الشرطي وهو توزيع فون ميزس ($\varepsilon_i \sim VN(\mu, \frac{vx}{\sigma^2})$) حسب الدالة :

$$f(y/x) = \frac{1}{2\pi I_0\left(\frac{vx}{\sigma^2}\right)} \cdot \exp\left\{\frac{vx}{\sigma^2} \cos(y - \mu)\right\}$$

بفرض : $\mu=0$ ، $\sigma^2 = 1$

2- المتغير المستقل (x_i) يتوزع التوزيع الشرطي الطبيعي حسب الدالة :

$$f(x/y) = \frac{1}{\sqrt{2\pi\sigma^2}} \cdot \exp\left\{-\frac{1}{2\sigma^2}(x - \lambda + v \cos(y - \mu))^2\right\}$$

بفرض : $\lambda, v = 0$ ، $\sigma^2 = 1$

3- توليد الأخطاء العشوائية بفرض انها تتوزع توزيع دائرى وتم افتراض توزيع فون ميزس(VM) .

بفرض : $\mu=0$ ، $v = 1$

الجانب التجريبي للجزء اللامعلمى :

1- اختيار أنموذج الأنحدار اللامعلمى :

$$y_i = g(\theta_i) + \varepsilon_i \pmod{2\pi}$$

يكون تقدير الأنحدار اللامعلمى من خلال تقدير دالة كثافة النواة الدائرية (Kernel Density Estimation) وتم استعمال نوعين من دوال النواة الدائرية :

1- فون ميزس (Von Mesis) :

بفرض معلمة تركيز تأخذ ثلاثة قيم ($v = 0.25, 0.50, 0.75$)

توليد بيانات المتغير الدائري (θ_i) يتوزع توزيع فون ميزس (VM) حسب الدالة :

$$f(\theta) = \frac{1}{2\pi I_0(k)} \exp\{v \cos(\theta - \mu)\}$$

2- كوشي المغلف (Wrapped Cauchy) :
 فرض معلمة تركيز تأخذ ثلاثة قيم (0.75 , 0.50 , 0.25)
 $p = 0.25$ توليد بيانات المتغير الدائري (θ) يتوزع توزيع كوشي المغلف (WC) حسب الدالة :

$$f(\theta) = \frac{1}{2\pi} \frac{1-p^2}{1+p^2 - 2p\cos(\theta - \mu)}$$

الجانب التجريبي لأنموذج الانحدار شبه المعلمي الدائري -الخطي- الدائري المدمج :

$$y_i = (1 - \alpha)f(x_i; \beta) + \alpha g(\theta_i) + \varepsilon_i$$

وتم اختيار معلمة دمج بثلاث قيم لكل تجربة :

رقم التجربة	قيمة معلمة الدمج α		
1	0.05	0.01	0.1
2	0.2	0.5	0.7
3	0.3	0.6	0.9

3-1-2 الجاذب التجاري لبناء نموذج الانحدار شبه المعلمي الدائري - الخطى - الدائري المدمج بأسئلة دوال نواة مختلفة

تم اختيار الأنماذج شبه المعلمي الدائري-الخطي-الدائري المدمج الأفضل وحسب الصيغة:

$$y_i = (1 - \alpha)f(x_i \cdot \beta) + \alpha g(\theta_i) + \varepsilon_i$$

من خلال بناء العديد من الأنماذج شبه المعلمي الدائري -الخطي الدائري المدمج بأجراء العديد من تجارب المحاكاة يتضمن كل جدول (case 27 أي 27 أنموذج) وباستعمال طريقة الأمكان الأعظم في تقدير الجزء المعلمي واستخدام طريقة تقدير دالة النواة الدائرية (Kernel Density Estimation) في تقدير الجزء اللامعلمي وبواسطة دالة فون ميرس (Von Mesis) ودالة نواة كوشي المغلف (Wrapped Cauchy). أذ تم تغيير القيم الأفتراضية لمعلمات كل أنموذج واختيار الأنماذج الأفضل على أساس متوسط مربع الخطأ (MSE) ومعامل التحديد (R^2). وتم إعادة بناء كل أنموذج بأستعمال حجوم عينات مختلفة (400, 300, 200, 150). للحصول على أفضل أنموذج ، تمت المقارنة بين الأنماذج الأفضل التي تم بناءها من كل تجربة وحسب نوع دالة النواة المختارة كما يأتي :

1-1- بأستعمال دالة نواة فون ميزس (Von Mesis)

الجدول (3) مقارنة أنموذجات الأهدار شبه المعلمي الدائري-الخطي-الدائري المدمج المقترنة بأسعمال دالة النواة فون ميزس (VM) لتقدير الجزء الالاعلمي لحجوم عينات (50,200,300,400)

حجم العينة	الأنموذج شبـه المعلـصـي الدائـريـالخطـيـ الدائـريـ المـدـمـج	معلـمة التـركـيز	MSE	R ²
50	$\bar{y}_1 = 0.98 (6.34 + 1.28x_i) + 0.02\hat{g}(\theta_i)$	0.25	0.8208	0.7514
	$\bar{y}_2 = 0.77 (1.32 + 1.86x_i) + 0.23\hat{g}(\theta_i)$	0.50	0.7640	0.8528
	$\bar{y}_3 = 0.84 (0.72 + 2.69x_i) + 0.16\hat{g}(\theta_i)$	0.25	0.8817	0.8966
200	$\bar{y}_1 = 0.98 (2.38 + 1.03x_i) + 0.02\hat{g}(\theta_i)$	0.50	0.8188	0.7568
	$\bar{y}_2 = 0.90 (1.21 + 1.95x_i) + 0.10\hat{g}(\theta_i)$	0.50	0.7653	0.8574
	$\bar{y}_3 = 0.92 (0.89 + 2.49x_i) + 0.08\hat{g}(\theta_i)$	0.25	0.8543	0.8978
300	$\bar{y}_1 = 0.99 (1.18 + 1.45x_i) + 0.01\hat{g}(\theta_i)$	0.25	0.7121	0.7651
	$\bar{y}_2 = 0.65 (1.71 + 1.88x_i) + 0.35\hat{g}(\theta_i)$	0.50	0.7422	0.8581
	$\bar{y}_3 = 0.82 (0.85 + 2.57x_i) + 0.18\hat{g}(\theta_i)$	0.25	0.8337	0.8991
400	$\bar{y}_1 = 0.98 (2.24 + 1.07x_i) + 0.02\hat{g}(\theta_i)$	0.75	0.7381	0.7971
	$\bar{y}_2 = 0.84 (1.72 + 1.90x_i) + 0.16\hat{g}(\theta_i)$	0.75	0.7063	0.8964
	$\bar{y}_3 = 0.66 (0.85 + 2.48x_i) + 0.44\hat{g}(\theta_i)$	0.75	0.7047	0.8997

يبين من الجدول (3) العديد من أنموذجات الأندار شبه المعلمي الدائري – الخطى – الدائري المدمج المقدرة وفقاً لحجم عينات مختلفة (50,200,300,400) تم الحصول على ثلات أنموذجات من كل حجم وتحديد الأنماذج الأفضل من كل تجربة وباستعمال دالة نواة فون ميرس (VM) . تم الحصول على كل أنماذج في الجدول أعلاه من خلال اختيار أنماذج واحد من كل تجربة تتضمن (27 case) . حققت الأنماذج عند الحالة (6 case) وحجم 400 أفضل أنماذج كما في الجدول الآتي :

جدول (4) أنموذج الانحدار شبه المعلمي الدائري-الخطي-الدائري المدمج بأسعمال دالة النواة (VM) للجزء اللامعملي ولحجم (400) يبين المقدرات بتباين مفروض (0.25, 0.5, 0.6, 0.9) وقيم معلمة الدمج (MSE, R²)

$$y_i = (1 - \alpha)f(x_i, \beta) + \alpha g(\theta_i) + \varepsilon_i$$

σ^2	parameter	معلمة الدمج α	معلمة التمهيد v	MSE	R^2	AIC	BIC
1	$B_0 = 0.05$ $B_1 = 2.5$	0.3	Case1	0.25	0.7513	0.8869	211.1671
			Case2	0.50	0.7465	0.8749	243.1603
			Case3	0.75	0.7463	0.8896	279.5580
		0.6	Case4	0.25	0.7134	0.8837	256.9184
			Case5	0.50	0.7639	0.8846	254.2894
			Case6	0.75	0.7047	0.8997	260.6818
		.9	Case7	0.25	0.7347	0.8782	246.6177
			Case8	0.50	0.7431	0.8893	248.8353
			Case9	0.75	0.7641	0.8907	245.6719
0.8	$B_0 = 0.05$ $B_1 = 2.5$	0.3	Case10	0.25	0.7663	0.8674	259.9763
			Case11	0.50	0.7966	0.8683	246.9906
			Case12	0.75	0.7419	0.8597	284.7892
		0.6	Case13	0.25	0.7349	0.8871	236.0632
			Case14	0.50	0.7431	0.8897	233.0760
			Case15	0.75	0.7984	0.8649	230.2907
		.9	Case16	0.25	0.7410	0.8607	220.6163
			Case17	0.50	0.7361	0.8649	236.6690
			Case18	0.75	0.7448	0.8673	254.4712
0.6	$B_0 = 0.05$ $B_1 = 2.5$	0.3	Case19	0.25	0.7407	0.8671	232.8040
			Case20	0.50	0.7009	0.8698	218.6306
			Case21	0.75	0.60647	0.8807	254.2429
		0.6	Case22	0.25	0.7128	0.8764	240.1654
			Case23	0.50	0.7079	0.8708	219.6933
			Case24	0.75	0.6647	0.8797	197.6301
		.9	Case25	0.25	0.7962	0.8782	231.8463
			Case26	0.50	0.7461	0.8074	222.0312
			Case27	0.75	0.7076	0.8797	175.0593

يتضح من الجدول رقم (3) الآتي :

- تأثير الجزء اللامعملي (المتغير الخطى) قوى جداً وضعف تأثير الجزء اللامعملي (المتغير الدائري) لجميع الأنماذج المختارة من الجداول الممثلة لكل تجربة .

• الأنماذج الأفضل الذي حقق اقل قيمة لمتوسط مربع الخطأ البالغة ($MSE = 7047$) ، حقق أعلى قوة تفسيرية من خلال قيمة معامل التحديد البالغة ($R^2 = 8997$) التي تفسر حجم تأثير المتغيرات المستقلة على المتغير التابع يعني ذلك ان أداء انموذج الانحدار شبه المعلمي الدائري الخطى - الدائري المدمج جيد جداً وبمعلمة دمج ($\alpha = 0.44$) وبقيمة تباين ($\sigma^2 = 1$)

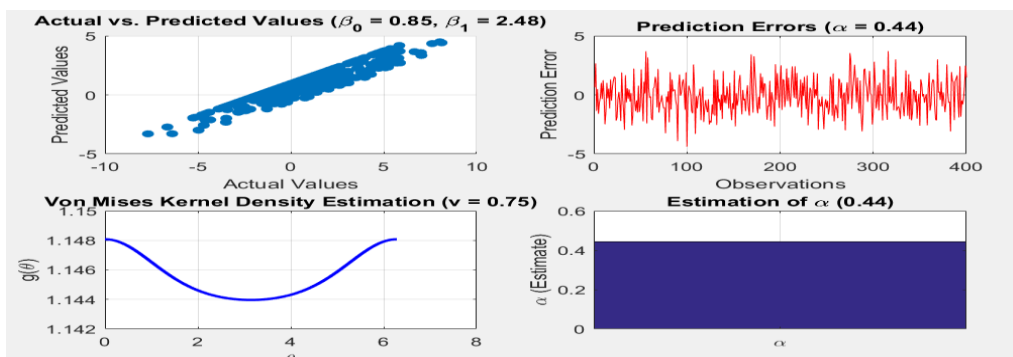
• انخفاض متوسط مربع الخطأ (MSE) عند الحجم 400 مما يدل على انخفاضه مع حجم العينات الكبيرة .
• معلمة التمهيد المقدرة ($\hat{\theta}$) اخذت اعلى القيم عند الحجم 400 مما ساهم في زيادة مرونة الجزء اللامعملي في الأنماذج

• كما يتضح من الشكل (1) :

• المخطط في الجهة العليا الأيسر (Actual vs. Predicted Values) المحور الأفقي يمثل القيم الفعلية (Actual Values) للبيانات المستهدفة ، والمحور الرأسى يمثل المتباينا بها (Predicted Values) يتضح أن هناك علاقة خطية بين القيم الفعلية والقيم المتباينا بها حيث كانت النقاط تتبع خطأ قطرياً من اليسار الى اليمين (زاوية 45 درجة تقريباً) هذا يعني ان الأنماذج يحقق تنبؤاً جيداً مع وجود بعض الانحرافات الصغيرة في التنبؤات عند المقدرات ($b_0 = 0.85$ ، $b_1 = 2.48$) .

- المخطط العلوي في الجهة اليمنى يشير إلى أخطاء التنبؤ (Prediction Error) عند قيمة ($\hat{\alpha} = 0.44$). مثل المحور الأفقي المشاهدات (Observations) والمحور الرأسى يمثل أخطاء التنبؤ لكل ملاحظة تتراوح بين قيم سالبة وقيم موجبة فهي موزعة بشكل عشوائي حول الصفر مما يعني وجود بعض الانحرافات عن القيم الفعلية.
- المخطط السفلي الأيسر يعرض تقدير كثافة النواة (Kernel Density Estimation) باستخدام دالة نواة Von Misis (VM) للجزء اللامعلمى في الأنماذج حيث مثل المحور الأفقي قيم المتغير الدائري (θ) والمحور الرأسى مثل قيمة دالة الكثافة ($g(\theta)$) وهي تأخذ شكل منحنى وباستعمال معلمة التركيز المقدرة ($\hat{\nu} = 0.75$) تشير إلى التشتت في تقدير الكثافة وهي تحكم بشكل المنحنى حيث تمثل مدى دقة النواة في تقدير القيم حول θ .
- المخطط السفلي الأيمن (Estimation of α) يعرض قيمة ($\hat{\alpha} = 0.44$) المقدرة وهي تمثل معلمة الدمج الجزء المعلمى واللامعلمى في النموذج ، المحور الرأسى يعرض قيمة (α) المقدرة مما يشير الى مقدار مساهمة الجزء اللامعلمى في الأنماذج التنبؤى .
يمكن صياغة الأنماذج بالمعادلة والشكل ادناه :

$$\widehat{y}_3 = 0.66 (0.85 + 2.48x_i) + 0.44\hat{g}(\theta_i) \quad \dots \quad (29)$$



الشكل (1) يشير الى المقدرات المعلمية واللامعلمية للنموذج الثالث بواسطة (VM) ومعلمة الدمج لحجم (400)
- باستعمال دالة نواة (WC)
الجدول (4) مقارنة أنماذج الانحدار شبه المعلمى الدائري-الخطى-الدائري المدمج المقدرة باستعمال دالة النواة كوشى المغلق (WC)
لتقدير الجزء اللامعلمى لحجم عينات (50,200,300,400)

حجم العينة	الأنماذج شبه المعلمى الدائري-الخطى-الدائري المدمج	معلمة التركيز (ρ)	MSE	R^2
50	$\widehat{y}_1 = 0.94 (6.22 + 1.01x_i) + 0.06\hat{g}(\theta_i)$	0.05	0.7204	0.8704
	$\widehat{y}_2 = 0.98 (1.71 + 2.14x_i) + 0.02\hat{g}(\theta_i)$	0.20	0.6995	0.8709
	$\widehat{y}_3 = 0.85 (0.68 + 2.45x_i) + 0.15\hat{g}(\theta_i)$	0.05	0.6525	0.9155
200	$\widehat{y}_1 = 0.96 (1.24 + 0.93x_i) + 0.04\hat{g}(\theta_i)$	0.80	0.9650	0.8584
	$\widehat{y}_2 = 0.58 (1.64 + 1.93x_i) + 0.42\hat{g}(\theta_i)$	0.20	0.5738	0.9621
	$\widehat{y}_3 = 0.93 (0.79 + 2.53x_i) + 0.07\hat{g}(\theta_i)$	0.80	0.7253	0.9729
300	$\widehat{y}_1 = 0.99 (2.88 + 0.91x_i) + 0.01\hat{g}(\theta_i)$	0.80	0.9139	0.9201
	$\widehat{y}_2 = 0.97 (2.76 + 1.01x_i) + 0.03\hat{g}(\theta_i)$	0.80	0.5752	0.9548
	$\widehat{y}_3 = 0.72 (0.89 + 1.17x_i) + 0.28\hat{g}(\theta_i)$	0.80	0.7243	0.9723
400	$\widehat{y}_1 = 0.46 (2.28 + 1x_i) + 0.54\hat{g}(\theta_i)$	0.80	0.9041	0.9511
	$\widehat{y}_2 = 0.98 (1.66 + 2x_i) + 0.02\hat{g}(\theta_i)$	0.80	0.5647	0.9517
	$\widehat{y}_3 = 0.69 (1.72 + 3.01x_i) + 0.31\hat{g}(\theta_i)$	0.20	0.5379	0.9764

يتبيّن من الجدول (4) العديد من أنماذج الانحدار شبه المعلمى الدائري - الخطى - الدائري المدمج المقيدة وفقاً لحجم عينات مختلفة وباستعمال دالة نواة كوشى المغلق (WC) تم الحصول على كل النموذج في الجدول أعلاه من خلال اختيار نموذج واحد من كل تجربة يتضمن كل جدول (case 27) (تتفاوت كل حالة عن الأخرى بالقيمة الأفتراضية لكل من (التبابن (σ^2) ، ومعلمة التركيز (ρ) وقيم معلمات الجزء المعلمى الأفتراضية (b_1 و b_0) و معلمة الدمج (α) كما في الجدول (5) أدناه :

جدول (5) أنموذج الأنحدار شبه المعلمي الدائري-الخطي-الدائري المدمج بأسعمال دالة النواة كوشي المغلف (WC) للجزء اللامعلمي ولحجم المفردات بتباعن مفروض (MSE , R^2 , 0.3 , 0.6 , 0.9) (400) يبيين

$$y_i = (1 - \alpha)f(x_i, \beta) + \alpha g(\theta_i) + \varepsilon_i$$

σ^2	parameter	معلمة الدمج	rho	cases	MSE	R^2	AIC	BIC
1	$0.05B_0 = B_1 = 2.5$	0.3	0.05	Case1	0.6378	0.95381	416.2929	528.2673
			0.2	Case2	0.6524	0.95374	450.1481	562.1224
			0.8	Case3	0.6488	0.95401	443.4394	555.4137
		0.6	0.05	Case4	0.5611	0.97109	216.4026	328.3770
			0.2	Case5	0.5379	0.9764	233.1953	265.1697
			0.8	Case6	0.5374	0.9749	226.0846	338.0590
		0.9	0.05	Case7	0.6531	0.9559	218.8595	330.8339
			0.2	Case8	0.6855	0.9558	226.6311	338.6055
			0.8	Case9	0.6337	0.9563	295.0826	307.0570
		0.5	0.3	Case10	0.6176	0.7497	263.8176	375.7920
			0.2	Case11	0.6086	0.7457	317.4650	329.4394
			0.8	Case12	0.6941	0.7593	304.4175	316.3918
			0.6	Case13	0.5488	0.9077	275.6344	387.6088
				Case14	0.5434	0.9083	343.1897	355.1640
				Case15	0.5373	0.9087	375.7797	387.7541
			0.9	Case16	0.7684	0.8361	342.7767	354.7511
				Case17	0.7299	0.8393	338.6490	350.6234
				Case18	0.7107	0.8357	347.1577	359.1321
		0.25	0.3	Case19	0.9641	0.69387	349.3817	361.3561
			0.2	Case20	0.9219	0.6693	307.1159	319.0903
			0.8	Case21	0.9277	0.66711	341.0265	353.0009
			0.0.6	Case22	0.6814	0.7363	325.2208	337.1952
				Case23	0.6837	0.7384	371.6459	383.6203
				Case24	0.7222	0.7364	253.9530	365.9274
			0.9	Case25	0.8930	0.7479	320.0278	332.0022
				Case26	0.8674	0.7506	315.3714	327.3458
				Case27	0.8447	0.7511	264.9523	376.9267

وعند مقارنة الأنماذجات في الجدول (4) نلاحظ الآتي :

- يتبيين من الجدول ان تأثير الجزء المعلمي (المتغير الخطى) قوي جداً وضعف تأثير الجزء اللامعلمى (المتغير الدائري) لجميع الأنماذج المختارة من الجداول المماثلة لكل تجربة .
- واضح من النتائج تذبذب في قيم (MSE) ، وقييم معامل التحديد (R^2) ايضاً فيها تذبذب واضح ويعطي قيم جيدة لجميع الأنماذج مما يدل على قوة تفسير المتغيرات المستقلة للمتغير التابع
- من خلال النتائج في الجدول نلاحظ ان الأنماذج الأفضل الذي حق اقل قيمة لمتوسط مربع الخطأ البالغة (MSE = 0.5379) ، حق أعلى قيمة تفسيرية من خلال قيمة معامل التحديد البالغة ($R^2 = 0.9764$) التي تفسر حجم تأثير المتغيرات المستقلة على المتغير التابع يعني ذلك ان أداء انماذج الأنحدار شبه المعلمى الدائري الخطى - الدائري المدمج جيد جداً وبمعاملة دمج ($\alpha = 0.31$) وبلغت قيمة معلمة التركيز ($\hat{\rho} = 0.20$) صياغة الأنماذج بالمعادلة والشكل ادناه :

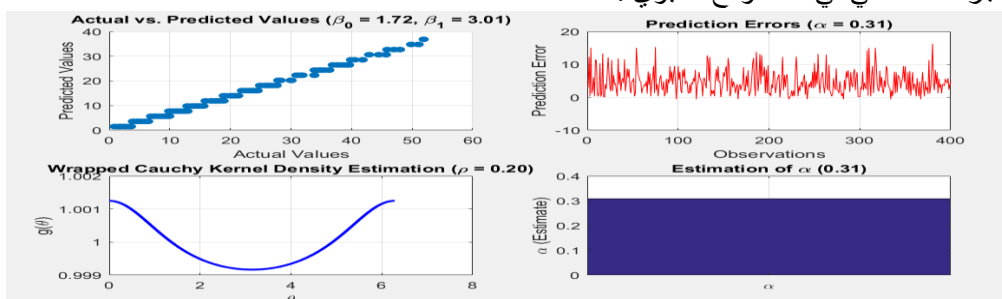
$$\widehat{y_3} = 0.69 (1.72 + 3.01x_i) + 0.31\hat{g}(\theta_i) \quad \dots \quad (30)$$

يشمل الشكل (2) :

- المخطط في الجهة العليا الأيسر (Actual vs. Predicted Values) المحور الأفقي يمثل القيم الفعلية (Actual Values) للبيانات المستهدفة ، والمحور الرأسي يمثل المتباً بها (Predicted Values) يتضح أن هناك علاقة خطية بين القيم الفعلية والقيم المتباً بها حيث كانت النقاط تتبع خطأ قطرياً من اليسار الى اليمين (زاوية 45 درجة

تقريباً) هذا يعني ان الأنماذج يحقق تنبؤاً جيد مع وجود بعض الانحرافات الصغيرة في التنبؤات عند المقدرات (400) . $b_0 = 1.72$ ، $b_1 = 3.01$.

- المخطط العلوي في الجهة اليمنى يشير الى أخطاء التنبؤ (Prediction Error) عند قيمة ($\hat{\alpha} = 0.31$) . مثل المحور الأفقي المشاهدات (Observations) والمحور الرأسي يمثل أخطاء التنبؤ لكل ملاحظة تتراوح بين قيمة سالبة وقيم موجبة فهي موزعة بشكل عشوائي حول الصفر مما يعني وجود بعض الانحرافات عن القيم الفعلية.
- المخطط السفلي الأيسر يعرض تقدير كثافة النواة (Kernel Density Estimation) باستخدام دالة نواة Wrapped Cauchy (WC) للجزء اللامعليمي في الأنماذج حيث مثل المحور الأفقي قيم المتغير الدائري (θ) والمحور الرأسي مثل قيمة دالة الكثافة ($g(\theta)$) وهي تأخذ شكل منحنى وباستعمال معلمة التركيز ($\rho = 0.20$) تشير الى التشتت في تقدير الكثافة وهي تحكم بشكل المنحنى حيث تمثل مدى دقة النواة في تقدير القيم حول θ .
- المخطط السفلي الأيمن (Estimation of α) يعرض قيمة ($\alpha = 0.31$) المقدرة وهي تمثل معلمة دمج الجزء المعلمي واللامعليمي في النموذج ، المحور الرأسي يعرض قيمة (α) المقدرة مما يشير الى مقدار مساهمة الجزء اللامعليمي في الأنماذج التنبؤية .



الشكل (2) يشير الى المقدرات المعلمية والامعلمية بواسطة دالة النواة كوشي (WC) و معلمة الدمج لحجم (400)

2-3 الجانب التطبيقي

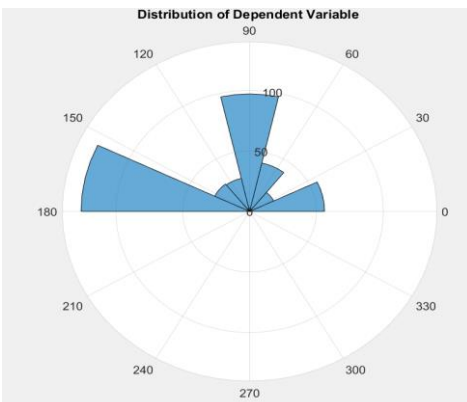
1-2-3 مقدمة Introduction

الهدف من هذا الفصل هو الحصول على أنماذج الأنحدار شبه المعلمي الدائري -الخطي - الدائري المدمج يعطي صورة واضحة لتأثير الأصابة بمرض الخطأ الأنكساري (Refractive Error) وتأثير كل من العين اليمنى المصابة وعمر المصاب على العين اليمنى . يتطلب الحفاظ على الوظيفة البصرية تحسينها بفهم الخطأ الأنكساري (Refractive Error) والتغيرات المرتبطة بالعمر ، تعمل العين البشرية كنظام بصري يركز الصور المرئية على الشبكة ، أذ ان الخطأ الأنكساري هو أحد الأسباب الرئيسية لظهور صورة الشبكية في العيون غير المصحة (Namba, H., Sugano, & others , 2020)

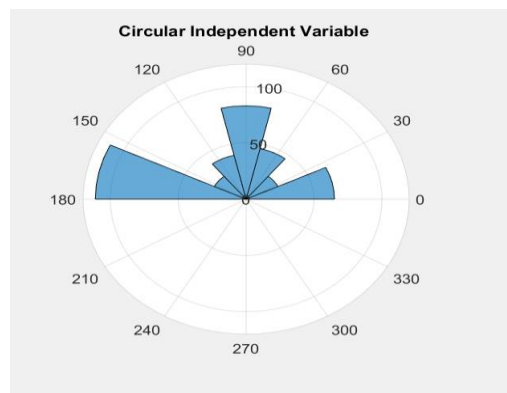
2-2-3 البيانات الحقيقة

تكونت البيانات الحقيقة للخطأ الأنكساري (Refractive Error) للعين اليمنى (OD) مثل المتغير المعتمد (y) وبيانات العين اليمنى (OS) مثل المتغير التوضيحي (θ) والمتغير التوضيحي (X) مثل العمر لمرضي الخطأ الأنكساري لعينة مكونة من (400) حالة + وتم تمثيل البيانات بالأشكال أدناه :

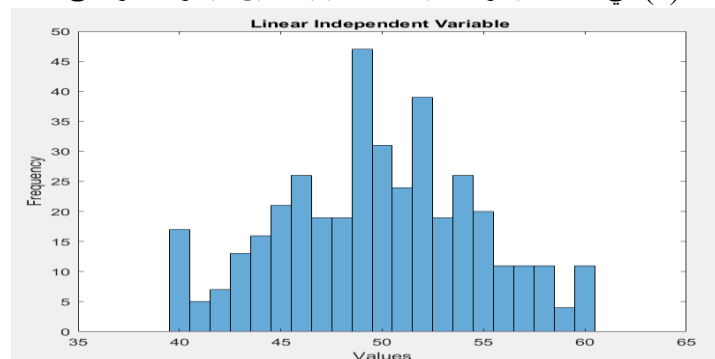
يتضح من الشكل (3) توزيع البيانات الحقيقة ضمن دائرة الوحدة للمتغير لبيانات الخطأ الأنكساري للعين اليمنى والذي يمثل المتغير المعتمد. أيضاً نلاحظ من الشكل (4) البيانات الحقيقة لمتغير الخطأ الأنكساري للعين اليمنى وهي موزعة ضمن دائرة الوحدة وتمثل المتغير التوضيحي للجزء اللامعليمي لأنماذج الأنحدار شبه المعلمي الدائري - الخطى - الدائري المدمج ويبين الشكل (5) التوزيع الطبيعي لمتغير العمر لحالات الخطأ الأنكساري .



شكل (3) في الجهة اليمنى البيانات الحقيقية للعين اليمنى لمرضى الخطأ الانكساري



الشكل (4) في الجهة اليسرى البيانات الحقيقية للعين اليسرى لمرضى الخطأ الانكساري



شكل (5) البيانات العمرية الحقيقية لمرضى الخطأ الانكساري

3-2-3 تقيير معلمات الأنماذج : Estimation of model Parameters

تم تقيير معلمات الجزء المعلمي لأنماذج الأنحدار شبه المعلمي الدائري - الخطى - الدائري المدمج أذ مثل المتغير المعتمد (y) بيانات مرضى الخطأ الانكساري للعين اليمنى ، ومثل المتغير (x) البيانات العمرية لمرضى الخطأ الانكساري النتائج موضحة كما في الجدول أدناه :

جدول (6) تقيير معلمات الجزء المعلمي لأنماذج الأنحدار شبه المعلمي الدائري - الخطى - الدائري المدمج

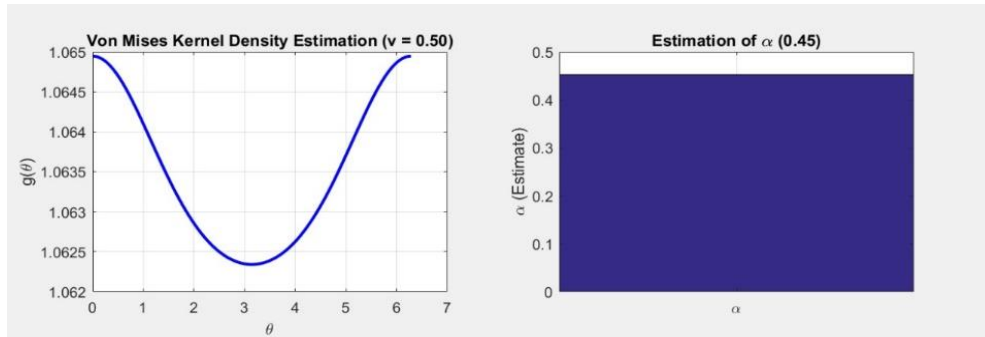
Parameter Method	\hat{B}_0	\hat{B}_1
الأمكان الأعظم MLE	0.9632	2.6412

نلحظ من الجدول (6) قيم المعلمات التي تم تقييرها للجزء المعلمي هي متقاربة مع القيم المقدرة بأسعمال البيانات المولدة في الجانب التجاريي (المحاكاة)

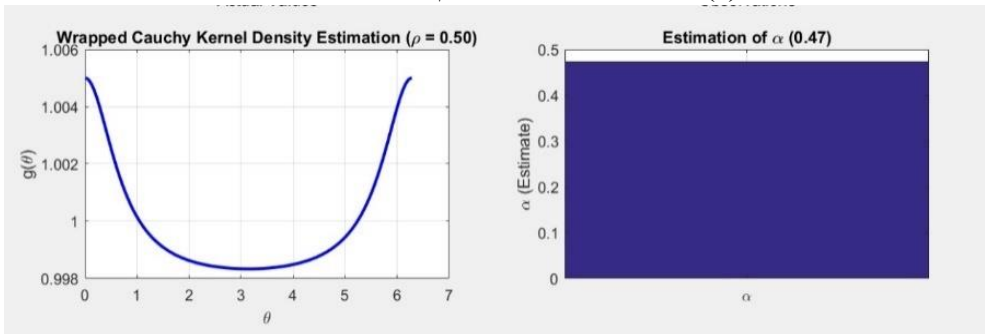
- الشكل (6) المخطط الأيسير يعرض تقيير كثافة النواة (Kernel Density Estimation) باستخدام دالة نواة

Von Mises للجزء اللامعلمي في الأنماذج حيث مثل المحور الأفقي قيم المتغير الدائري (θ) الممثلة لبيانات الخطأ الانكساري للعين اليسرى والمحور الرأسي مثل قيمة دالة الكثافة المقدرة للبيانات الحقيقة($g(\theta)$) وهي تأخذ

- شكل منحنى وباستعمال معلمة التركيز ($v = 0.50$) تشير الى التشتت في تقدير الكثافة وهي تتحكم بشكل المنحنى حيث تمثل مدى دقة النواة في تقدير القيم حول θ .
- المخطط الأيمن يمثل قيمة معلمة الدمج المقدرة للبيانات الحقيقية (Estimation of α) ، المحور الرأسى يعرض قيمة (α) المقدرة مما يشير الى مقدار مساهمة الجزء الامثلعى في الأنماذج التنبؤى ، اذ بلغت ($\alpha = 0.45$) .
 - الشكل (المخطط الأيسر يعرض تقدير كثافة النواة (Kernel Density Estimation) باستخدام دالة نواة (Wrapped Cauchy (WC) في الأنماذج الامثلعى حيث مثل المحور الأفقي قيم المتغير الدائري (θ) والمحور الرأسى مثل قيمة دالة الكثافة (θ) $g(\theta)$ وهي تأخذ شكل منحنى وباستعمال معلمة التركيز المقدرة ($= \rho = 0.50$) تشير الى التشتت في تقدير الكثافة وهي تتحكم بشكل المنحنى حيث تمثل مدى دقة النواة في تقدير القيم حول θ .
 - المخطط الأيمن (Estimation of α) يعرض قيمة معلمة الدمج المقدرة وهي تمثل معلمة دمج الجزء المعلمى والامثلعى في النماذج ، المحور الرأسى يعرض قيمة (α) المقدرة مما يشير الى مقدار مساهمة الجزء الامثلعى في الأنماذج التنبؤى بلغت ($\alpha = 0.47$) .



شكل (6) القيمة المقدرة لمعلمة باستخدام دالة النواة



شكل (7) القيمة المقدرة لمعلمة باستخدام دالة النواة

3-4-2-3 المفضلة بين الأنماذج المقدرة للبيانات الحقيقية:

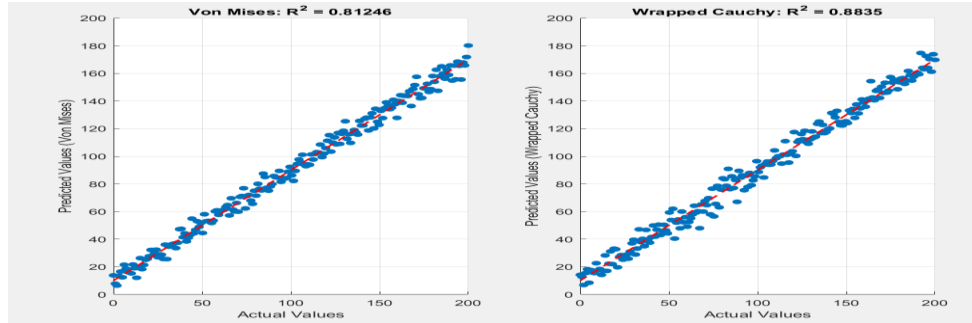
لمعرفة أي الأنماذج يتفوق في الكفاءة على الأنماذج الآخر سنستعمل معايير المعلومات المفضلة بينها وهم معيار المعلومات أكايكي (AIC) ومعيار المعلومات (BIC) أذ تعتمد هذه المعايير في حسابها على متوسط مربع الخطأ (MSE) ، يمكن تلخيص نتائج هذه المعايير مع متوسط مربع الخطأ بالجدول أدناه :

جدول (7) بين معايير المفضلة لمقدرات أنماذج الأنحدار شبه المعلمى الدائري-الخطى - الدائري المدمج

الأنماذج شبه المعلمى الدائري-الخطى - الدائري المدمج	MSE	المعايير	
		AIC	BIC
دالة كثافة نواة VM	0.8937	319.0389	324.7749
دالة كثافة نواة WC	0.78322	292.4276	298.1637

نلحظ من الجدول (7) أن أنماذج الأنحدار شبه المعلمى الدائري-الخطى - الدائري المدمج المقدر باستخدام دالة نواة كوشى المغلف (WC) بمعملة الدمج المقدرة (0.47) تفوق على أنماذج الأنحدار شبه المعلمى الدائري-الخطى - الدائري المدمج المقدر باستخدام دالة نواة فون ميزس (VM) أذ حقق أقل قيم لكل من متوسط مربع الخطأ (MSE) ومعياري المعلومات (AIC) و(BIC) لذا يعد أنماذج الأنحدار شبه المعلمى الدائري-الخطى - الدائري المدمج . في حين حقق أنماذج الأنحدار شبه المعلمى الدائري-الخطى - الدائري المدمج المقدر باستخدام دالة نواة فون ميزس (VM) أعلى القيم بالنسبة لمتوسط مربع الخطأ (MSE) ومعيار المعلومات (AIC) ومعيار المعلومات (BIC) . جاءت هذه النتائج متقدمة مع

نتائج الجانب التجاري (المحاكاة) في الفصل الثالث عند الحجم (400) حيث كانت الأفضلية أنموذج الأنحدار شبه المعلمي الدائري - الخطى - الدائري بأسعمال دالة نواة كوشى المغلف (WC). ايضاً حق الأنموذج شبه المعلمى الدائري - الخطى - الدائري المدمج المقدر بأسعمال دالة نواة كوشى المغلف (WC) أعلى معامل تحديد اذ بلغ (0.8835) يدل ذلك على القوة التفسيرية للمتغيرات التوضيحية بالنسبة للمتغير التابع



شكل (7) بين (R^2) لأنموذج الأنحدار شبه المعلمى الدائري - الخطى - الدائري

- ظهر من الشكل (7) العلاقة بين القيم الحقيقة (True Values) والقيم المتوقعة (Fitted Values) من النموذج. الخط الأحمر المنقط يمثل الخط المرجعي (Reference Line)، حيث تشير النقاط القريبة من هذا الخط إلى أن النموذج يتبع بدقة عالية.
- يمكن ملاحظة أن معظم النقاط تقع بالقرب من الخط المرجعي، مما يشير إلى أن النموذج لديه قدرة جيدة على التنبؤ بالقيم الحقيقة. ومع ذلك، هناك بعض النقاط التي تحرف عن الخط، مما قد يشير إلى وجود قيم شاذة أو مناطق يحتاج النموذج إلى تحسينها.
- الأداء العام للنموذج يبدو جيداً، حيث أن النقاط تتبع بشكل عام اتجاه الخط المرجعي. هذا يشير إلى أن النموذج قادر على تفسير جزء كبير من التباين في البيانات.
- هناك بعض النقاط التي تبتعد بشكل ملحوظ عن الخط المرجعي، مما قد يشير إلى وجود قيم شاذة في البيانات أو أن النموذج يحتاج إلى تحسين في هذه المناطق.
- دقة النموذج تبدو معقولة، حيث أن معظم النقاط تقع بالقرب من الخط المرجعي. ومع ذلك، يمكن تحسين الدقة من خلال تحسين معلمات النموذج أو إضافة ميزات إضافية.
- بعد إجراء المقارنة تبين أن أنموذج الأنحدار شبه المعلمى الدائري - الخطى - الدائري المدمج المقدر بأسعمال دالة النواة Wrapped Cauchy هو الأنموذج الأفضل وبمعلمة تركيز ذات قيمة معتدلة بلغت ($\rho = 0.50$) ويمكن كتابة معادلة الأنموذج بالصيغة التالية :

$$\hat{y} = 0.63 (0.9632 + 2.6412x_i) + 0.47 \hat{g}(\theta_i) \dots \quad (31)$$

4- الاستنتاجات والتوصيات

1-4 الاستنتاجات

بالنسبة لأنموذج شبه المعلمى الدائري - الخطى - الدائري المدمج :

- يجمع أنموذج الأنحدار شبه المعلمى الدائري - الخطى - الدائري المدمج يجمع بين المرونة والدقة وتحقيق موثوقىقى التقدير والتنبؤ بما يتلائم وطبيعة البيانات الدائرية.
- عدم استقرار نتائج الأنموذجات في العينات الصغيرة أذ يلاحظ تذبذب قيمة معامل التحديد (R^2) وكذلك متوسط مربع الخطأ (MSE) بين الارتفاع والانخفاض ، قد يكون ذلك بسبب تغيير معلمة التركيز الخاصة بدالة النواة أو بسبب تغيير التباين .
- استخدام دالة النواة كوشى المغلف (Wrapped Cauchy) في تقدير الجزء اللامعلمى لأنموذج الأنحدار شبه المعلمى الدائري - الخطى - الدائري أفضل من استخدام فون ميس (Von Mesis) .

2-4 التوصيات

- نوصي بتعيم الأنموذج على بيانات لظواهر أخرى .
- إجراء دراسات حول أنموذج الأنحدار شبه المعلمى الدائري - الخطى - الدائري باعتماد عينات كبيرة لتحسين استقرار النتائج .
- دراسة أنواع أخرى من أنموذجات الأنحدار الدائري .
- المصادر:

1. Abuzaid, A. H. (2010). *Some problems of outliers in circular data*. University of Malaya (Malaysia).
2. Allahham, N. (2015). *ON THE SIMPLE ANGULAR REGRESSION MODEL WITH WRAPPED CAUCHY ERROR* (Doctoral dissertation, Al Azhar University-Gaza).
3. Alonso-Pena, M., Ameijeiras-Alonso, J., & Crujeiras, R. M. (2021). Nonparametric tests for circular regression. *Journal of Statistical Computation and Simulation*, 91(3), 477-500.
4. Ban Ahmed Matras, & Alaa Mahmoud Mohamed. (2013). Using the Albi estimator and k-mean clustering method for hand gesture recognition. *AL-Rafidain Journal of Computer Sciences and Mathematics*, 10(1).
5. Di Marzio, M., Fensore, S., & Taylor, C. C. (2023). Kernel regression for errors-in-variables problems in the circular domain. *Statistical Methods & Applications*, 32(4), 1217-1237.
6. Fan, Y., & Ullah, A. (1999). Asymptotic normality of a combined regression estimator. *Journal of Multivariate Analysis*, 71(2), 191-240.
7. Hussen, Namarq Qassem. Mohammed, Laith Ali & Hasan , Rammah Oday . (2022) " Using a semi-parametric regression model to study the most important factors affecting the gross domestic product of oil prices for the period" (1980-2020) . *Journal of Algebraic ststistic* . Volume 13, No.2 , 2022 , P . 1024-1036 .<https://publishoa.com> , ISSN:1309-3452
8. Issa, Aseel Muslim. 2011. "Comparison of some semi-parametric estimators for estimating the electrical energy consumption function for the city of Baghdad." Master's thesis in statistics. College of Administration and Economics, University of Baghdad.
9. Jawad, Ali Muhammad. 2023 AD "Building and Estimating an Angular Regression Model for Circular Data with a Practical Application" PhD Thesis in Statistics, College of Administration and Economics, University of Karbala.
10. Meilán-Vila, A. (2020). Nonparametric inference for regression models with spatially correlated errors.
11. Namba, H., Sugano, A., Murakami, T., Utsunomiya, H., Nishitsuka, K., Ishizawa, K., ... & Yamashita, H. (2020). Age-related changes in astigmatism and potential causes. *Cornea*, 39, S34-S38.
12. Oliveira, M., Crujeiras, R. M., & Rodríguez-Casal, A. (2014). CircSiZer: an exploratory tool for circular data. *Environmental and ecological statistics*, 21, 143-159.
13. Rahman, M., Gokhale, D. V., & Ullah, A. (1997). A note on combining parametric and non-parametric regression. *Communications in Statistics-Simulation and Computation*, 26(2), 519-529.
14. Rahmani, S., Mohaghegh, S., & Moradnejad, S. (2024). Refractive error and vision related quality of life. *BMC ophthalmology*, 24(1), 83.
15. Scott, A. (2002). Circular Data: An Overview with Discussion of One-Sample Tests.
16. Tarrad, Alaa Jaber & Hassan, Raad Fadel. 2013 AD "Parametric and semi-parametric regression models (comparative study)". Master's thesis in statistics, Al-Mustansiriya University, College of Administration and Economics.
17. Ullah, A., & Vinod, H. D. (1993). 4 General nonparametric regression estimation and testing in econometrics.